

**МЕТАЛЛУРГИЯ И МАТЕРИАЛОВЕДЕНИЕ**  
**METALLURGY AND MATERIALS TECHNOLOGY**

**Муравьёв В.И., Бахматов П.В., Долотов Б.И., Физулаков Р.А., Фролов А.В.**  
**V.I.Muravyev, P.V.Bakhmatov, B.I.Dolotov, R.A.Fizulakov, A.V.Frolov**

**ПРОЦЕССЫ УПОРЯДОЧЕНИЯ СТРУКТУРНОЙ НЕОДНОРОДНОСТИ  
КОНСТРУКЦИОННЫХ МАТЕРИАЛОВ ПРИ ИЗГОТОВЛЕНИИ ИЗДЕЛИЙ**

**NORMALIZATION OF STRUCTURAL NON-UNIFORMITY PROCESSES IN STRUCTURAL MATERIALS DURING COMPONENT PART MANUFACTURE**

**Муравьёв Василий Илларионович** – доктор технических наук, профессор кафедры «Технология сварочного производства» Комсомольского-на-Амуре государственного технического университета (Россия, Комсомольск-на-Амуре); 681013, г. Комсомольск-на-Амуре, пр. Ленина, 27. E-mail : ktsp@knastu.ru.

**Mr. Vassily I. Muravyev** – Doctor in Engineering, Professor of the Department of Welding Engineering Technology, Komsomolsk-on-Amur State Technical University (Komsomolsk-on-Amur). E-mail: ktsp@knastu.ru.

**Бахматов Павел Вячеславович** – кандидат технических наук, доц., доцент кафедры «Технология сварочного производства» Комсомольского-на-Амуре государственного технического университета (Россия, Комсомольск-на-Амуре); 681013, г. Комсомольск-на-Амуре, пр. Ленина, 27. E-mail : ktsp@knastu.ru.

**Mr. Pavel V. Bakhmatov** – PhD in Engineering, Associate Professor, Department of Welding Engineering Technology, Komsomolsk-on-Amur State Technical University (Komsomolsk-on-Amur). E-mail: ktsp@knastu.ru.

**Долотов Борис Иванович** – кандидат технических наук, проф., профессор кафедры «Технология сварочного производства» Комсомольского-на-Амуре государственного технического университета (Россия, Комсомольск-на-Амуре). E-mail : [ktsp@knastu.ru](mailto:ktsp@knastu.ru).

**Mr. Boris I. Dolotov** – PhD in Engineering, Professor, Department of Welding Engineering Technology, Komsomolsk-on-Amur State Technical University (Komsomolsk-on-Amur). E-mail: ktsp@knastu.ru.

**Физулаков Роман Анатольевич** – кандидат технических наук, доц., доцент кафедры «Материаловедение и технология новых материалов» Комсомольского-на-Амуре государственного технического университета (Россия, Комсомольск-на-Амуре); 681013, г. Комсомольск-на-Амуре, пр. Ленина, 27. E-mail : [ktsp@knastu.ru](mailto:ktsp@knastu.ru).

**Mr. Roman A. Fizulakov** – PhD in Engineering, Associate Professor, Department of Materials/New Materials Technology, Komsomolsk-on-Amur State Technical University (Komsomolsk-on-Amur). E-mail: ktsp@knastu.ru.

**Фролов Алексей Валерьевич** – кандидат технических наук, доцент кафедры «Промышленная электроника» Комсомольского-на-Амуре государственного технического университета (Россия, Комсомольск-на-Амуре); 681013, г. Комсомольск-на-Амуре, пр. Ленина, 27. E-mail : [ktsp@knastu.ru](mailto:ktsp@knastu.ru).

**Mr. Alexey V. Frolov** – PhD in Engineering, Associate Professor at the Department of Industrial Electronics, Komsomolsk-on-Amur State Technical University (Komsomolsk-on-Amur). E-mail:[ktsp@knastu.ru](mailto:ktsp@knastu.ru).

**Аннотация.** В работе представлен обзор проведенных исследований коллективом специалистов ГО-УВПО «КнАГТУ» и ОАО «Комсомольское на Амуре авиационное производственное объединение им. Ю.А. Гагарина» в период с 1968 г. по настоящее время при решении проблем производства качественных и надежных изделий и конструкций летательных аппаратов.

**Summary.** The paper reviews the studies that have been collaboratively conducted by a group of researchers at Komsomolsk-on-Amur State Technical University and at Yury Gagarin Komsomolsk-on-Amur Aviation Plant, since 1968 till the present time in the area of solution of the problems of producing high quality and trouble proof aircraft structures.



**Ключевые слова:** упорядочение, структурная неоднородность, надёжность летательных аппаратов, структурные изменения поверхности, объёмные структурные изменения, термический цикл сварки, дефектная структура, технологический процесс, фазовые превращения.

**Key words:** normalization, structural non-uniformity, airplane safety, surface structural fluctuations, body structural fluctuations, welding heat cycle, defect structure, production process, phase transformations.

УДК 629.7 : 621.7 : 669.295

## Сохранение предшествующей и создание новой упорядоченной поверхностной структурной неоднородности конструкционных материалов [1, 2]

Научным коллективом проводятся систематические исследования существующих и новых процессов структурных изменений в поверхностном слое сталей и сплавов при взаимодействии с нагревающей средой, большой комплекс технологических, проектно-конструкторских и внедренческих работ. По результатам этих работ опубликовано 107 научных трудов, сделано 17 докладов на международных конференциях, приоритеты и новизна исследований подтверждены 23 авторскими свидетельствами и патентами на изобретение. Решая задачи обеспечения заданных физико-химических свойств деталей, сохранения геометрии и высокой точности или придания новой формы, сохранения без изменений поверхностного слоя и минимального уровня напряжений в процессе термического воздействия, были достигнуты следующие результаты.

**Воздействие расплавленных солей.** На основе проведённых исследований окисляющего, обезуглероживающего и коррозионного воздействия расплавленных солей на стали и сплавы определены закономерности воздействия различных видов раскислителей и установлены максимальное количество и условия введения их в ванну, что позволило вести нагрев под закалку резьбовых деталей, изготовленных по 6-му квалитету точности, особенно с мелкой резьбой, пружин, режущего инструмента и других деталей, обеспечивая их высокое качество. При нагреве сталей в расплавленных солях происходит не только адсорбция на поверхности, но и диффузия ионов хлора вглубь. Поэтому промывка значительно влияет не только на точечную и язвенную коррозию, но и на общую коррозию образцов. При этом промывка в горячем водном растворе щёлочи в 5 – 10 раз сокращает скорость коррозии, по сравнению с промывкой в обычной горячей воде.

**Применение защитных покрытий.** Исследования защитных покрытий проводились с целью защиты резьб у деталей из конструкционных сталей, термическая обработка которых невозможна в соляных ваннах. Наилучшими свойствами обладают стеклоэмалевые покрытия. Испытания технологических свойств стеклоэмалевых покрытий показали, что они растрескиваются и отлетают при закалке в воде, масле и в селитре. Поверхность детали получается чистой, без окалины, что позволило использовать их при нагреве под штамповку, термообработку и др. для защиты поверхности заготовок из конструкционных материалов. Было установлено, что применение стеклоэмалевых покрытий наиболее эффективно вместе с применением предварительного низкотемпературного окисления для титановых заготовок – при нагреве под штамповку практически в 2 раза уменьшается глубина слоя с изменённой микроструктурой и твёрдостью.

**Атмосфера сухого воздуха.** Наиболее инертной средой в атмосфере сухого воздуха является прокалённый песок, просушенный графит, применение которых в песочных затворах особенно целесообразно для дисперсионного твердения и отжига высоколегированных сталей и сплавов. Существенный рост оксидной плёнки на поверхности титановых сплавов наблюдается при нагреве в воздушной атмосфере в электропечи : с температуры 650 °C – при выдержке более 1 ч, с температуры 900 °C – при выдержке более 30 мин, при электроконтактном нагреве с температуры 1000 °C – при выдержке более 5 мин (рис. 1). Исследованиями установлено, что электроконтактный нагрев и последующий отжиг в воздушной среде

позволяет получать сложные листовые детали из титановых сплавов с высокими показателями механических свойств, при этом содержание газовых примесей в поверхностном слое находится в пределах допуска по ОСТ 190013-81. Установлены условия использования газолазерного раскроя (ГЛР) в среде технического азота без защиты обратной стороны реза в атмосфере воздуха титановых сплавов. При этом содержание газовых примесей в поверхностном слое образцов после ГЛР соизмеримо с содержанием газовых примесей в основном металле. Показано, что образующийся при ГЛР титановых сплавов град можно использовать для изготовления порошкового материала – нитрида титана.

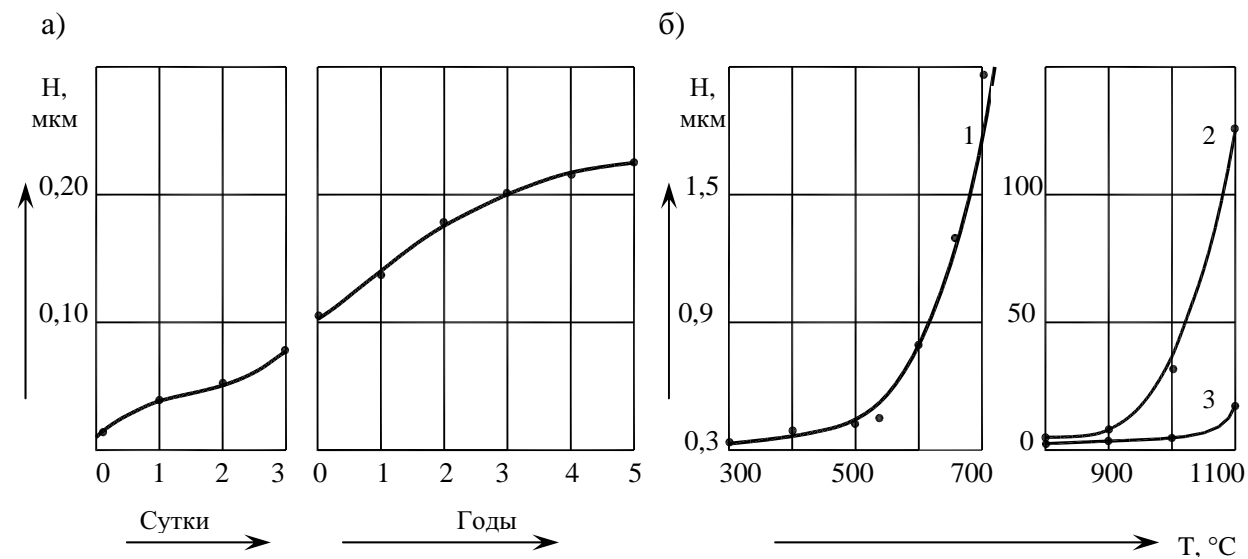


Рис. 1. Рост толщины оксидной плёнки на поверхности титана:  
а – при температуре окружающего воздуха 25 °С, б – при выдержке : 1 – 60 мин,  
2 – 30 мин, 3 – 5 мин; для соответствующей температуры : 1, 2 – при нагреве  
в электропечи, 3 – при электроконтактном нагреве

**Геттеры (газопоглотители) для создания защищющей среды в атмосфере воздуха.** Кинетические кривые изменения давления воздуха в изолированном объёме показывают, что нагрев увеличивает давление до определённой величины, соответствующей заданной температуре. Изотермическая выдержка практически не влияет на изменение давления. Добавки титановой стружки (геттеры) приводят к изменению вида кинетических кривых, давление воздуха в изолированном объёме возрастает, а затем начинает падать (рис. 2). На поверхности титановой стружки при температурах 500 – 600 °С образуются следы окисной плёнки, которые при нагреве выше этих температур исчезают. Было установлено, что в бескислородной среде добавка углеродитовых материалов для уменьшения количества газов в изолированном объёме не приводит к взаимодействию с поверхностью сталей и сплавов при температурах до 1100 °С и обычной засыпке. При нагреве под термообработку в изолированном контейнере с титановой стружкой деталей из сталей различного класса их окисление не происходит, поверхность образцов получается светлой, блестящей, не требующей очистки, доработки, что позволяет повысить их качество и надёжность. Сравнительные испытания усталостной прочности показали, что образцы из высокопрочной коррозионностойкой стали при термической обработке в вакууме имеют усталостную прочность в 1.5...2 раза меньше, чем при термической обработке в контейнере с титановой стружкой (табл. 1).

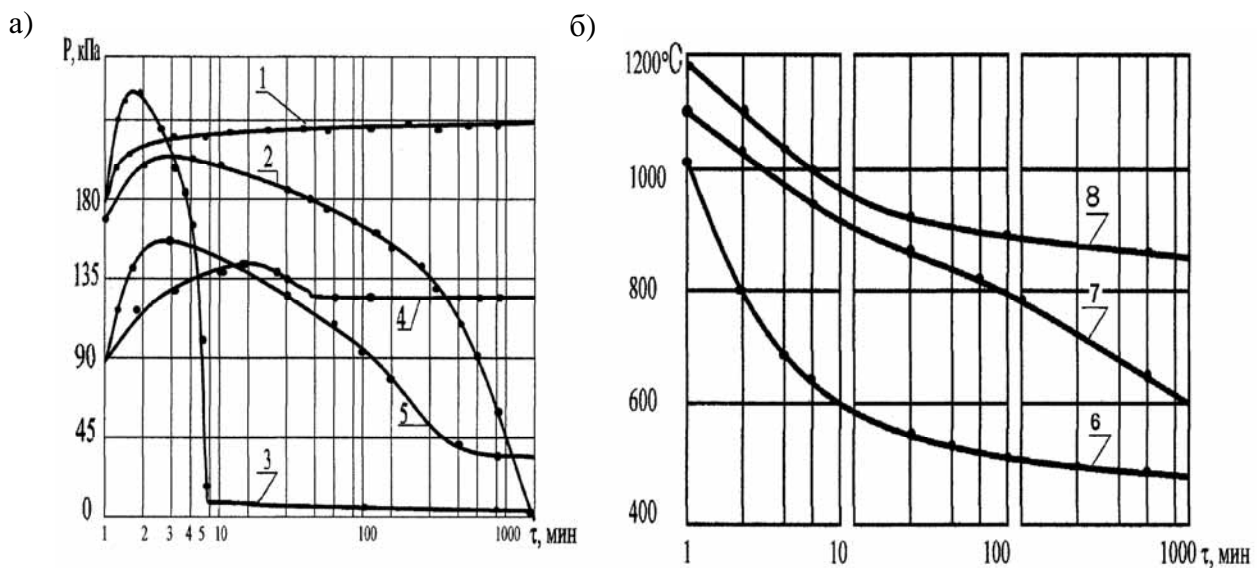


Рис. 2. Кинетические кривые: а – изменение давления в изолированном объеме воздуха при различных температурах нагрева титановых образцов из сплава ВТ1: 1 – пустой контейнер, 2 – при  $V/S = 0,5$ ; 3, 4, 5 – при  $V/S = 0,05$ ; 1, 2, 3 – 900 °С; 4 – 450 °С; 5 – 700 °С; б – изменение границ: существование окисной (6), и нитридной (7) пленок; начала вакуумного травления (8) при соотношении  $V/S = 0,05$

Изменение прочности и малоцикловой усталости коррозионно-стойких сталей  
в зависимости от режима закалки, среды нагрева под закалку и вида  
механической обработки после закалки

Таблица 1

| Среда нагрева<br>и выдержка,<br>мин | Глубина<br>дефектного<br>слоя, мм | $\sigma_b$ , МПа           |                            | Число циклов до разрушения<br>при $\sigma_a^{cp} = (0,7\sigma_b - 0,2\sigma_b)/2$ |                                     |
|-------------------------------------|-----------------------------------|----------------------------|----------------------------|---|-------------------------------------|
|                                     |                                   | 13Х15Н4АМ3                 | 08Х15Н5Д2Т                 | 13Х15Н4АМ3  | 08Х15Н5Д2Т                          |
| 1                                   | 2                                 | 3                          | 4                          | 5   | 6                                   |
| Соляная ванна, 60                   | 0,35                              | <u>1360...1370</u><br>1365 | —                          | <u>12 400...16500</u><br>18 939   | —                                   |
|                                     | Отсутствует*                      | <u>1400...1420</u><br>1410 | —                          | <u>24 590...32 650</u><br>35 190  | —                                   |
| Вакуум, 60                          | 0,20                              | <u>1270...1370</u><br>1350 | —                          | <u>25 300...32 650</u><br>29 296  | —                                   |
|                                     | Отсутствует*                      | <u>1430...1450</u><br>1440 | —                          | <u>44 820...67 620</u><br>54 970  | —                                   |
| Вакуум, 45                          | 0,10                              | <u>1420...1440</u><br>1430 | <u>1270...1300</u><br>1290 | <u>11 000...15 000</u><br>12 980  | <u>36 280...41 300</u><br>37 954    |
|                                     | Отсутствует**                     | <u>1420...1440</u><br>1430 | <u>1280...1310</u><br>1290 | <u>21 300...25 600</u><br>23 900  | <u>69 275...75 980</u><br>73 582    |
|                                     | -0,03***                          | <u>1435...1440</u><br>1440 | <u>1275...1320</u><br>1290 | <u>34 300...39 980</u><br>38 954  | <u>138 600...147 200</u><br>144 860 |
|                                     | 0,12                              | <u>1360...1380</u><br>1370 | —                          | <u>20 720...25 430</u><br>23 575  | —                                   |
| Аргон, 60                           | Отсутствует*                      | <u>1400...1400</u><br>1400 | —                          | <u>27 200...38 950</u><br>36 650  | —                                   |
|                                     | 0,05                              | <u>1390...1440</u><br>1420 | —                          | <u>30 380...64 300</u><br>48 270  | —                                   |

Продолжение табл. 1

| 1                               | 2              | 3                          | 4                           | 5                                 | 6                                   |
|---------------------------------|----------------|----------------------------|-----------------------------|-----------------------------------|-------------------------------------|
|                                 | Отсутствует*   | <u>1440...1400</u><br>1440 | —                           | <u>63 690...69 670</u><br>65 740  | —                                   |
| Эмаль, 45                       | Отсутствует*** | <u>1490..1520</u><br>1500  | <u>1290... 1320</u><br>1300 | <u>77 000...123 100</u><br>92 420 | <u>265 350...290 480</u><br>280 920 |
| Изолированный объем воздуха, 60 | 0.03           | <u>1410...1450</u><br>1430 | —                           | <u>41 560...60 870</u><br>54 280  | <u>98 352...112 300</u><br>103 330  |
|                                 | Отсутствует*   | <u>1430...1440</u><br>1440 | —                           | <u>61 270...70 320</u><br>8 430   | <u>156 800...174 200</u><br>166 230 |

\*Удаление дефектного слоя проточкой, \*\* то же шлифованием; \*\*\* то же опескоструиванием.

П р и м е ч а н и я . 1. В числителе приведены минимальные и максимальные значения, а в знаменателе – среднее значение (из 7 образцов).

2.  $\sigma_a^{cp}$  – амплитуда напряжений при усталостных испытаниях.

**Использование псевдоожженного слоя сыпучих материалов.** Исследованиями было установлено, что одним из перспективных направлений существенного упрочнения и создания новой поверхностной структурной неоднородности деталей из сплавов и сталей является интенсификация процессов нагрева под штамповку и термообработку в печах и установках с псевдоожженным (кипящим) слоем различных сыпучих материалов.

Исследования внесли весомый вклад в теорию и практику интенсификации процессов нагрева, охлаждения, диффузионного взаимодействия со средой заготовок из различных конструкционных материалов. Интенсивность нагрева заготовок в таком слое не уступает интенсивности нагрева в расплавах солей и соизмерима с нагревом токами высокой частоты. Процесс охлаждения в нем по интенсивности не уступает охлаждению в масле, и при этом исключаются вредные для воды, масла и даже жидкого азота процессы пленочного кипения и образования паровой рубашки на поверхности деталей при охлаждении.

Впервые показана интенсификация более чем на порядок скорости диффузионного легирования поверхности металлов из твердой фазы под воздействием электрического тока в инертной среде и вакууме (цементация, цианирование, азотирование, борирование, комплексное легирование и др.).

Проведение этих исследований позволило в кратчайшие сроки внедрить процессы цианирования и азотирования винтовой пары для ЛА с изменяющейся стреловидностью крыла и борирования титанового лыжонка в фильтрующем слое на традиционном оборудовании.

Диффузионная металлизация в псевдоожженном слое углеграфитовых материалов позволяет интенсифицировать процессы насыщения по сравнению с неподвижным слоем в 2-3 раза и приблизить его к интенсивности насыщения из расплавов солей. Псевдоожжение позволяет увеличить количество инертной добавки без существенного снижения интенсивности процесса, исключает спекание насыщающей среды и припекание ее к поверхности насыщаемых изделий и исключает трудоемкие операции загрузки и выгрузки изделий. Скорость разогрева насыщающей среды в вибропсевдоожженном слое при обычных условиях в 5, а в вакууме в 4 раза быстрее, чем в неподвижном слое. Использование инертных газов азота или аргона позволяет загружать изделия непосредственно в разогретую печь и осуществлять непрерывный цикл обработки без ее охлаждения.

Этот метод позволяет существенно повышать градиент химического потенциала насыщающего элемента за счет как каталитического воздействия добавок катализаторов, так и за счет образования промежуточных высокореактивных соединений радикалов непосредственно на поверхности обрабатываемых деталей и интенсифицировать диффузионные процессы.



Борирование повышает абразивный износ титановых сплавов в 10 раз, по сравнению с исходным состоянием. Борирование, алитирование и силицирование повышает окалиностойкость титановых сплавов в 10, 6 и 4 раза, а бороалитирование в 20 раз, по сравнению с образцами без покрытия. Борирование, силицирование и хромирование улучшают, а алитирование, боро- и хромоалитирование ухудшают кислотостойкость титановых сплавов. Борирование, бороалитирование, хромирование и титанирование улучшают, а силицирование и алитирование ухудшают кислотостойкость нержавеющей стали 12Х18Н9Т. Максимальной термостойкостью, более чем на порядок, обладают образцы молибдена после титаносилицирования по сравнению с исходным состоянием.

## **Создание объемного упорядочения структурной неоднородности конструкционных материалов в процессе фазовых превращений [3]**

Традиционные технологические методы повышения прочности, основанные на увеличении плотности дислокаций и уменьшении их подвижности, приводят к снижению пластичности, вязкости и, тем самым, надежности изделий.

При наличии критической концентрации плотности дислокаций в силу неравномерного распределения структурных дефектов отдельные объемы металла и сплава пересыпаются дислокациями. Это вызывает нарушение сплошности в виде субмикроскопических трещин и снижение прочности. Последующий отпуск приводит к уменьшению прочности на 20...30 %, а пластичность возрастает, причем, чем выше температура отпуска, тем меньше предел прочности и выше пластичность.

Существуют и исключения из общих закономерностей, когда под влиянием технологических приемов одновременно увеличиваются и прочность, и пластичность.

По результатам работ в этой области опубликовано 159 научных трудов, сделано 14 докладов на международных конференциях, приоритет и новизна исследований подтверждена 44 авторскими свидетельствами и патентами на изобретения.

Исследования влияния режимов закалки стали марки 30ХГСА на механические свойства показали, что после закалки образцов  $\varnothing 10$  мм с  $890\pm110$  °С в масле  $\sigma_b = 1600\ldots1800$  МПа,  $\delta = 1\ldots2$  %; последующего отпуска при  $480\ldots530$  °С, 1 ч  $\sigma_b = 1100\ldots1300$  МПа,  $\delta = 8\ldots12$  %; изотермической закалки в щелочи при  $380\pm10$  °С, 20 мин  $\sigma_b = 1450\ldots1600$  МПа,  $\delta = 14\ldots18$  %. Проведёнными исследованиями [3] изотермической закалки, как инструмента наноформирования дефектной структуры стали марки Р18, был разработан оптимальный режим, включающий (в зависимости от химического состава стали) температуру нагрева под закалку 1280 – 1290 °С, температуру изотермической выдержки 280 – 320 °С и время выдержки, исключающее бейнитное превращение, что позволяет выравнивать плотность дефектов на низких структурных уровнях и в результате комплексно улучшить характеристики материала: предел прочности – на 45 %, красностойкость – на 10 % при одновременном увеличении пластичности, износстойкость – на 66 %.

Особое состояние фазового предпревращения характеризуется наименьшей устойчивостью атомов для обеих фаз. Тепловое воздействие на металл и сплав в интервале температур предпревращения приводит к максимальной диффузационной подвижности атомов. В этих условиях протекают многоуровневые релаксационные процессы, которые фиксируются при последующем охлаждении и обеспечивают повышенную прочность и пластичность заготовок и их высокую стабильность. Исследованием влияния температуры окончательной штамповки на механические свойства заготовки из сплава марки ВТ20 одной и той же плавки с температурой полиморфного превращения  $T = 975$  °С после предварительной двухступенчатой штамповки подвергались окончательной третьей штамповке после нагрева их до температуры полиморфного предпревращения и охлаждению на воздухе с последующим отжигом при температуре 960 °С, в течение 1 ч. Установлено, что деформация в температурном интервале существования  $\alpha$ -фазы, близкой к температуре полиморфного превращения  $\alpha \rightarrow \beta$  приводит к образованию структуры (рис. 3, б), связанной с процессами рекристаллизации,

коагуляции и глобуляризации, что позволяет повысить предел прочности на 8...10 %, а характеристики пластичности в 1.5...2 раза, уменьшить анизотропию свойств штамповок в зависимости от направления испытаний и улучшить качество деталей.



Рис. 3. Микроструктура образцов заготовок при различной температуре окончательной штамповки: а – 1100 °C; б – 970 °C; в – 920 °C

Исследование электроконтактного нагрева заготовок из сплава марки ВТ20 до температур полиморфного «предпревращения»  $\alpha \rightarrow \beta$  и последующего охлаждения в штампе позволило одновременно увеличить прочность и пластичность, при этом  $\sigma_b$  повысилась на 15 %;  $\sigma_{0,2}$  – на 13 %;  $\delta$  – на 45 %, угол загиба – на 25 %; малоцикловая усталость – на 23 %, по сравнению с традиционными способами упрочнения; и существенно снизить содержание газовых примесей ( $H_2$ ,  $O_2$ ,  $N_2$ ). Максимум пластичности на образцах из сплава ВТ20 достигается при введении удельной энергии ЭИВ  $q = 2 \dots 4 \text{ Дж}/\text{мм}^3$ , что соответствует разогреву заготовки до температур 220...540 °C. Время формообразования детали не превышает 0,8...1,0 с. Механические свойства заготовок, обработанных по такому способу, составляли:  $\sigma_b = 1270 \text{ МПа}$ ,  $\delta = 28 \%$  (табл. 2).

Таблица 2

Механические свойства сплава ВТ20 после различных видов упрочнения  
в процессе формообразования

| Способ упрочнения   | Механические свойства |                      |              |             |  | Содержание газов |       |       |
|---|-----------------------|----------------------|--------------|-------------|--|------------------|-------|-------|
|   | $\sigma_b$ , МПа      | $\sigma_{0,2}$ , МПа | $\delta$ , % | Угол, °     | Число циклов до разрушения при $\sigma_a^{cp} = (0,75\sigma_b - 0,49\sigma_b)/2$ | $H_2$            | $O_2$ | $N_2$ |
| 1   | 2                     | 3                    | 4            | 5           | 6  | 7                | 8     | 9     |
| Исходное состояние, отжиг 650 °C, 1 ч   | 1080                  | 1030                 | 12           | 38          | -  | 0.0081           | 0.085 | 0.021 |
| Холодная прокатка   | 1130                  | 1090                 | 7            | 34          | -  | -                | -     | -     |
| Холодная прокатка, отжиг 650 °C, 1 ч  | 1130                  | 1080                 | 9            | 36          | -  | 0.0085           | 0.098 | 0.020 |
| Холодная прокатка, отжиг 860 °C, 1 ч  | 1050                  | 980                  | 11           | 38          | -  | 0.0087           | 0.090 | 0.023 |
| Электроконтактный нагрев 1020 °C, охлаждение в металлической матрице, отжиг 650 °C, 1 ч | 1100–1130<br>1110     | 1030–1080<br>1050    | 10–12<br>11  | 36–42<br>40 | 215000–243000<br>222000  | 0.0112           | 0.117 | 0.039 |
| Электроконтактный нагрев 960 °C, охлаждение в металлической матрице                     | 1260                  | 1210                 | 18           | 44          | ...  | 0.0096           | 0.093 | 0.029 |

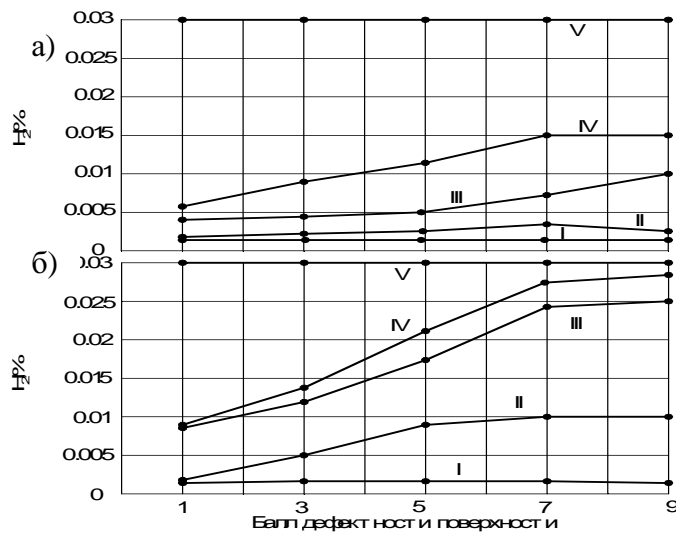
| 1   | 2                   | 3                   | 4             | 5             | 6                         | 7      | 8     | 9     |
|---|---------------------|---------------------|---------------|---------------|---------------------------|--------|-------|-------|
| Электроконтактный нагрев 960 °С, охлаждение в металлической матрице, отжиг 650 °С, 1 ч                | 1240–1270<br>1250   | 1180–1210<br>1190   | 14–18<br>16   | 44–48<br>46   | 237000–263000<br>255000   | 0.0096 | 0.093 | 0.029 |
| Электроимпульсное воздействие с введением удельной электрической энергии $q = 1,7$ Дж/мм <sup>3</sup> | 1250...1280<br>1270 | 1180...1220<br>1200 | 24...30<br>28 | 48...52<br>50 | 268000...296000<br>282000 | 0.0078 | 0.089 | 0.019 |
| Требования для сплава BT20 по ГОСТ 90218-76   | 1000...1200         | ...                 | 9             | 30            | ...                       | -      | -     | -     |

Примечание. В числителе – максимальные и минимальные значения, в знаменателе – среднее значение семи испытанных образцов.

### Управление упорядочением структурной неоднородности металла шва сварных конструкций из титановых сплавов [3]

По результатам систематических исследований существующих и новых процессов сварки плавлением титановых конструкций и сварки трением конструкций из алюминиевых сплавов опубликовано 123 научных труда, сделано 23 научных доклада на международных конференциях, приоритет и новизна исследований подтверждена 27 авторскими свидетельствами и патентами на изобретения, одним свидетельством по заявке №А-93 от 08.01.1998 на научную идею «О самопроизвольном сжатии дугового разряда» регистрационный № 93 от 11.05.1998 г. приоритет от 30.05.1996.

**Конструкции из листовых заготовок.** Разработана концепция управления процессом термического цикла сварки (ТЦС) титановых сплавов для создания металла шва с заданными свойствами путем установления связей между их составом, технологий и свойствами. Для оценки эффективности процесса ТЦС титановых сплавов предложено использовать (величину) насыщенность капиллярно-конденсированной влагой поверхностистыкуемых заготовок и присадочной проволоки, позволяющую учитывать порообразование в металле шва и скорость охлаждения в интервале температур полиморфного превращения, определяющую структуру и свойства металла шва. При этом установлена взаимосвязь между конденсированной влагой и содержанием водорода в поверхностном слое титановых заготовок, позволяющая четко разделить поверхенностно-адсорбированную влагу и капиллярно-конденсированную в зависимости от качества поверхностистыкуемых заготовок и присадочной проволоки (рис. 4).



Содержание водорода : I – в основном металле, II – после обезжикивания в спирте исходной поверхности, III – исходная поверхность после механической обработки, IV – после охлаждения до -10 °С и выдержки на воздухе при комнатной температуре 2 ч, V – сразу после охлаждения до -10 °С

Рис. 4. Изменение содержания водорода в поверхностном слое заготовок из титановых сплавов BT1-00 (а) и BT20 (б) в зависимости от балла дефектности, вызванного различными методами обработки, условиями хранения и последующей обработки.

1 – чистовое шлифование; 3 – шабрение; 5 – чистовое фрезерование; 7 – грубое фрезерование; 9 – рубка на ножницах гильотинного типа

Сравнительными исследованиями механических свойств основного металла и металла шва листовых заготовок различных толщин и плавок по результатам входного и технологического контроля конкретных деталей ЛА за пятилетний период было установлено, что для толщин 1,2 мм и 2,0 мм независимо от химического состава свойства металла шва и основного металла практически не различаются, а для толщин 2,5 мм и 3,0 мм независимо от химического состава свойства металла шва ниже свойств основного металла и в некоторых случаях более чем на 10 – 15 %. Изменение режимов ТЦС на «жесткие» для этих толщин привело к увеличению временного сопротивления разрыву металла шва по сравнению с основным металлом более чем на 15 % и незначительному уменьшению угла загиба. Из проведенных исследований следует, что механические свойства металла шва титановых сплавов определяются процессами ТЦС (рис. 5).

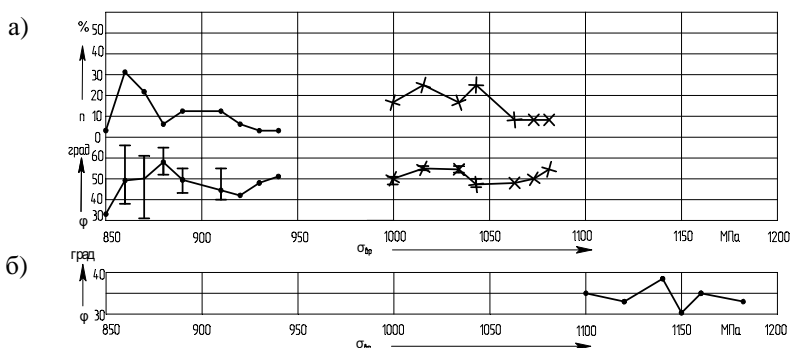


Рис. 5. Изменение механических свойств основного металла (-x-x-x) и сварного шва (- --- ) образцов из листа  $\delta = 2,5$  мм сплава марки BT20 в зависимости от режима ТЦС:  
а – традиционные режимы сварки; б – «жесткий» режим сварки

Установлено, что температурное поле, достаточное для удаления капиллярно-конденсированной влаги с поверхности заготовок, находится в диффузационной зоне соединения, где происходит полное смятие выступов шероховатости микронадрывов и образование замкнутых полостей, заполненных влагой. Регулярное чередование выступов на поверхности титановых заготовок, образованных ГЛР, и их высокая твердость, практически сохраняющаяся до температуры плавления, позволяют полностью удалить капиллярно-конденсированную влагу с поверхности заготовки, полученной раскроем на ножницах гильотинного типа, и получить металл шва высокой плотности без пор. В последнем случае поры образуются в случае использования некачественной присадочной проволоки.

Теоретически обосновано и экспериментально установлено, что улучшение свойств металла шва титановых сплавов определяется процессами ТЦС, а именно процессами превращения при охлаждении из расплавленного состояния за счет получения мелкозернистой структуры и изменения толщины и ориентировки  $\alpha$ -пластин в процессе охлаждения, что позволяет, назначая режимы ТЦС, прогнозировать свойства титановых конструкций (рис. 6).

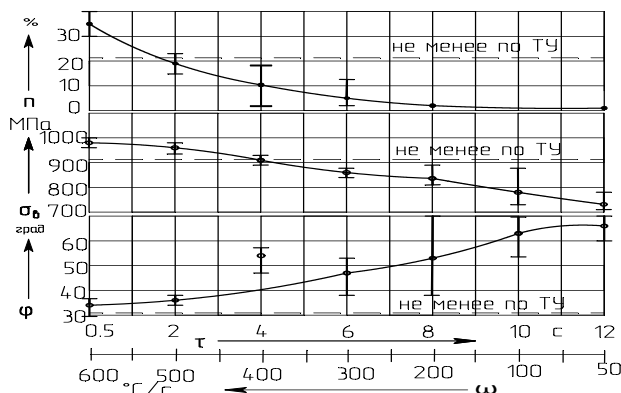


Рис. 6. Изменение механических свойств сварных образцов из титанового сплава BT20 и количества пор на 100 мм сварного шва в зависимости от времени существования расплава сварочной ванны и скорости охлаждения в интервале полиморфного  $\beta$ - $\alpha$ -превращения

Исследования механических свойств при статических, повторно-статических и виброиспытаниях титановых конструкций показали, что конструкции, изготовленные при применении оптимальных режимов ТЦС и термообработки, не уступают конструкциям, изготовленным по традиционной технологии из цельного металла.

**Конструкции из плим и штамповок.** На основе теоретических и экспериментальных исследований разработана и внедрена в производство усовершенствованная технология сварки, позволяющая получать за один проход соединения толщиной до 54 мм и до 76 мм при двусторонней сварке, что в полтора раза превышает базовые показатели; более полная реализация предлагаемых технологических решений позволит достичь прогнозируемого результата в 60 мм и 100...110 мм соответственно.

При разработке простой и надежной конструкции электрода с повышенной проплавляющей способностью исходили, во-первых, из того факта, что электрическая сварочная дуга является, по существу, проводником, по которому течет ток. Во-вторых, учитывалась возможность обязательного увеличения рабочей (скругленной) поверхности электрода в случае необходимости повышения сварочного тока. Если исходить из принципа равенства площадей скругленной рабочей поверхности электрода и поверхности, занимаемой катодным пятном, то можно сохранять высокую стойкость электрода при увеличении силы сварочного тока путем увеличения площади рабочей поверхности. Наиболее благоприятной, с этой точки зрения, является тороидальная заточка рабочего торца электрода.

Дуга, горящая с тороидального электрода, имеет форму полого цилиндра – полоцилиндрическая дуга. Поперечное сечение такой дуги будет иметь форму кольца (рис. 7, а). Эту дугу можно смоделировать в виде множества параллельных токов, суммарное электромагнитное взаимодействие которых должно приводить к ее контрагированию в результате эффекта самофокусирования (рис. 7, б).

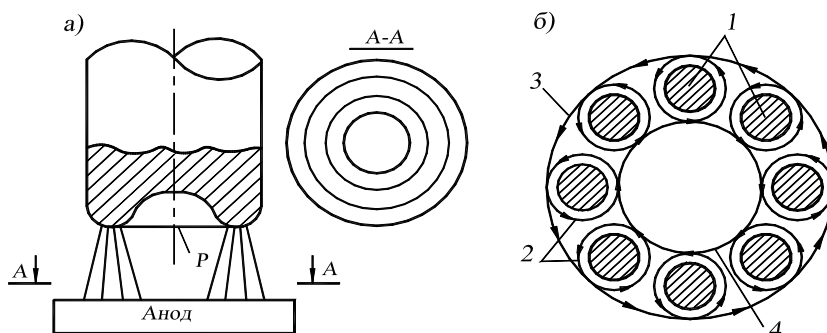


Рис. 7. Тороидальный электрод с полоцилиндрической дугой (а); схема, поясняющая возникновение эффекта сжатия кольцевой сварочной дуги (б): 1 – проводники; 2 – магнитные поля проводников; 3 – внешнее суммарное магнитное поле; 4 – внутреннее суммарное магнитное поле

Механизм самофокусирования объясняется следующим. Во-первых, плазменные стенки полоцилиндрической дуги должны сжиматься в результате суммарного взаимодействия внешнего и внутреннего магнитных полей, направленных в противоположные стороны (рис. 7, а). Во-вторых, суммарное взаимодействие параллельных токов должно привести к сжатию (самофокусированию) всей полоцилиндрической дуги (рис. 7, б).

Такая конструкция, получившая название «тороидальный электрод», выгодно отличается от других конструкций простотой исполнения и высокой динамичностью основных характеристик: при неизменном диаметре электрода площадь его рабочей поверхности можно изменять в широких пределах путем изменения диаметра центральной лунки (рис. 8). При

этом появляется возможность в значительной степени увеличить сварочный ток и достичь значительной глубины проплавления.

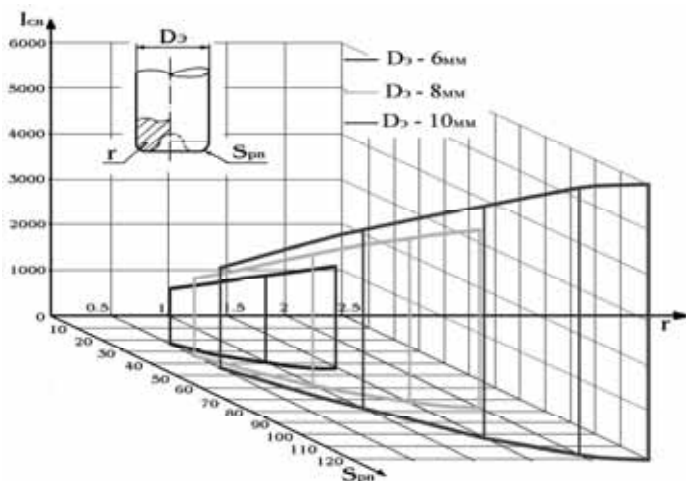


Рис. 8. Изменение площади рабочей поверхности ( $S_n$ ) и расчетной силы сварочного тока ( $I_{cb}$ ) в зависимости от радиуса тора

Установлено, что оптимальной формой кромки для формирования металла шва является кромка, образованная гидроабразивной резкой и плазменной резкой. Изменение поверхностного слоя сформированной кромки составляет 0,5...1,0 мм для гидроабразивной резки и 1,5...2,0 мм – при плазменной, что при соблюдении коэффициента фугитивности  $K = 35,64 \cdot 10^4 \text{ кДж/м}^2$  позволяет получать качественную форму металла шва с высокими показателями его механических свойств за счёт эффекта саморифинирования, что позволяет использовать его для изготовления ответственных титановых конструкций. Газокислородная резка обеспечивает высокие механические показатели металла шва, но из-за грубого рельефа кромок после сварки в металле шва наблюдается значительная усадка, что позволяет использовать этот способ только для изготовления оснастки.

Сравнительными исследованиями металла шва, полученного электрической дугой и электронным лучом, всех толщин, вплоть до максимальной, установлено, что величины механических свойств не выходят за пределы требований, предъявляемых к высоконагруженным титановым конструкциям. При формировании металла шва электрической дугой временное сопротивление разрыву несколько меньше, а ударная вязкость выше, в сравнении с металлом шва, сформированного электронным лучом. Малоцикловая усталость практически мало различается. Различия в значениях механических свойств вызваны изменениями в структуре металла шва из-за разной скорости охлаждения при кристаллизации, что позволяет улучшать механические свойства путем изменения скорости кристаллизации металла шва, это подтверждается электронно-микроскопическими исследованиями микроструктуры металла шва.

Исследованиями химического состава и примесей газов установлено, что распределение газов  $N_2$ ,  $O_2$ ,  $H_2$  как при сварке СПВЭ, так и ЭЛС находятся в пределах допуска для соединений ответственного назначения и составляют: для кислорода – 0,043 – 0,079 %, для азота – 0,019 – 0,034 %, для водорода – 0,0027 – 0,0088 %, а для основного металла: кислород – 0,064 %, азот – 0,026 %, водород – 0,0054 %. Закономерности распределения примеси  $H_2$  удовлетворительно согласуются с данными С.М. Гуревича, а именно: в металле шва содержание  $H_2$  ниже, чем в основном металле.

**Сварка трением с перемешиванием (СТП) [5].** Установлена возможность СТП конструкций из высокопрочных алюминиевых сплавов на примере сплава марки В95. Апробирован метод моделирования процесса получения сварного соединения на пластилиновой модели. Определены максимальная температура и характер ее распределения как в образце, так и рабочем инструменте при СТП алюминиевого сплава В95.



По результатам механических испытаний видно, что сварные соединения после СТП имеют прочность в 1,89 – 2,75 раза ниже, чем основной металл. После закалки и естественного старения значения механических свойств идентичны основному металлу (табл. 3).

Таблица 3  
Результаты механических испытаний образцов из сплава В95

| Номер образца | Предел прочности $\sigma_b$ , МПа |           |                               |
|---------------|-----------------------------------|-----------|-------------------------------|
|               | Основной металл                   | После СТП | После СТП, закалки и старения |
| 1             | 539,0                             | 274,4     | 547                           |
| 2             | 539,0                             | 284,2     | 535                           |
| 3             | 539,0                             | 296,0     | 503                           |
| 4             | 509,6                             | 245,0     | 522                           |
| 5             | 542,0                             | 245,8     | 554                           |

Исследованиями макро- и микроструктуры металла шва, выполненного СТП, установлено, что во всей зоне соединения с основным металлом отсутствуют дефекты в виде трещин и пор (рис. 9). Структура металла шва однородная, мелкозернистая, резко отличающаяся от структуры основного металла. Относительно оси симметрии поперечного сечения сварного соединения наблюдается различие в ширине переходной зоны от сварного шва к основному металлу. Относительно направления движения РИ при вращении его по часовой стрелке минимальная ширина переходной зоны расположена слева.

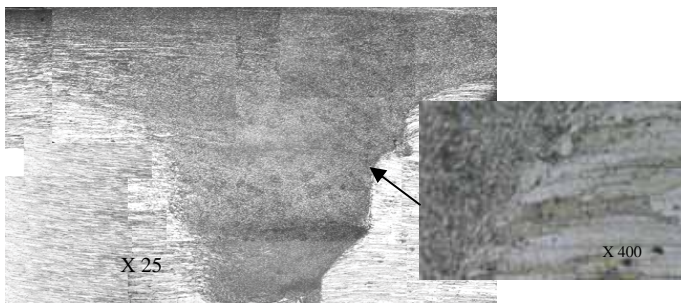


Рис. 9. Макро- и микроструктура поперечного сечения сварного шва, выполненного СТП.

СТП с последующей термической обработкой позволяет получать сварные соединения из алюминиевого сплава марки В95 прочностью, близкой основному металлу, что дает возможность изготавливать панели с коэффициентом использования металла 0,89 – 0,92 вместо 0,07 – 0,20 (при фрезеровании плит).

## ЛИТЕРАТУРА

- Братухин, А. Г. Современные технологии авиастроения / А.Г. Братухин, Б.И. Долотов, В.И. Муравьёв [и др.]; под ред. А.Г. Братухина. Ю.Л. Иванова. – М.: Машиностроение, 1999. – 832 с.
- Муравьёв, В. И. Изготовление литых заготовок в авиастроении / В.И.Муравьёв, В.И.Якимов, А.А.Евстигнеев [и др.]; под ред. В.И. Муравьёва – Владивосток: Дальнаука, 2003. – 616 с.
- Муравьёв В.И., Обеспечение надежности конструкций из титановых сплавов / В.И. Муравьев, П.В. Бахматов, Б.И. Долотов [и др.]; под ред. В.И. Муравьева. – Москва: «Эком», 2009. – 752 с.
- Муравьев, В. И. Изотермическая закалка как инструмент наноформирования дефектной структуры стали Р18 для улучшения эксплуатационных характеристик режущего инструмента. / В.И.Муравьев, А.В.Фролов, А.М.Злыгостев [и др.] // Металлообработка. – 2009. – № 2. – С. 50-57.
- Бахматов, П. В. Исследование параметров сварки трением с перемешиванием высокопрочного алюминиевого сплава В95Т2 / П.В. Бахматов, В.И. Муравьев, К.А. Мелкоступов // Сварочное производство. – 2010. – № 6. – С. 17-19.